

## بررسی آزمایشگاهی انتقال حرارت جابجایی نانوپیل آبی $\text{Al}_2\text{O}_3$ در میکرومبدل حرارتی

محمد سلیمی گچوئی<sup>۱</sup>، سید محسن پیغمبرزاده<sup>۱\*</sup>، سید حسن هاشم آبادی<sup>۲</sup>، علیرضا چعبی<sup>۱</sup>

۱- دانشگاه آزاد اسلامی، واحد ماهشهر، دانشکده مهندسی شیمی، گروه مهندسی شیمی، ماهشهر،

۲- دانشکده مهندسی شیمی، دانشگاه علم و صنعت ایران، تهران

\* ماهشهر، صندوق پستی ۶۳۵۱۹ sm.peyghambarzadeh@mhrria.ac.ir

### چکیده

در این پژوهش، انتقال حرارت جابجایی اجباری آب خالص و نانوپیل آلومنیا- آب در غلظت‌های حجمی ۰/۵٪ و ۱٪ در یک گرمزادی میکروکاتال به صورت تجربی بررسی گردید. این گرمزادی میکروکاتال، دارای ۱۷ کاتال موازی با سطح مقطع مستطیل شکل به عرض  $\mu\text{m}$  و ارتفاع  $560\ \mu\text{m}$  و طول  $400\ \mu\text{m}$  می‌باشد. آزمایش‌ها در محدوده عدد رینولز ۶۰۰ تا ۱۸۰۰ و همچنین در شرایط شار حرارتی ثابت ( $19\ \text{W/cm}^2$ ) صورت گرفت. مطالعات پایداری نشان داد بیشترین مدت زمان پایداری نانوپیل آلومنیا- آب در  $\text{pH} = 3$  = ۳ ساعت در یک حمام ارتعاش دهنده متفاوت ضربی صوت، حاصل می‌شود. تغییرات دمای سطح میکروکاتال، دمای سیال در ناحیه ورودی میکروکاتال، ضربی انتقال حرارت متوسط نانوپیل و آب خالص و همچنین ضربی اصطکاک آن‌ها به صورت آزمایشگاهی اندازه‌گیری شد. همچنین مقایسه بین عدد ناسالت متوسط نانوپیل با روابط موجود انتقال حرارت جابجایی انجام گردید. نتایج نشان می‌دهد انتقال حرارت با استفاده از نانوپیل نسبت به آب خالص افزایش قابل توجهی از خود نشان می‌دهد بهطوری که بیشترین مقدار افزایش ضربی انتقال حرارت متوسط برای نانوپیل آلومنیا- آب با غلظت ۰/۵٪ حدود ۳۲/۸٪ و برای نانوپیل آلومنیا- آب با غلظت ۱٪ حدود ۴۹/۷٪ نسبت به آب خالص است. همچنین مشخص شد با افزایش عدد رینولز و همچنین کسر حجمی نانوذره، ضربی انتقال حرارت افزایش می‌یابد.

### اطلاعات مقاله

مقاله پژوهشی کامل  
دریافت: ۲۳ مهر ۱۳۹۳  
پذیرش: ۰۹ آذر ۱۳۹۳  
ارائه در سایت: ۲۰ دی ۱۳۹۳

کلید واژگان:  
میکروکاتال  
نانوپیل  
انتقال حرارت جابجایی  
ضریب انتقال حرارت

## Experimental investigation of convective heat transfer of $\text{Al}_2\text{O}_3$ /water nanofluid through the micro heat exchanger

Mohammad Salimi Gachuiiee<sup>1</sup>, Seyed Mohsen Peyghambarzadeh<sup>1\*</sup>, Seyed Hasan Hashemabadi<sup>2</sup>, Alireza Chabi<sup>1</sup>

۱- Department of Chemical Engineering, Mahshahr Branch, Islamic Azad University, Mahshahr, Iran

۲- Department of Chemical Engineering, Iran University of Science and Technology, Tehran, Iran

\*P.O.B. 63519 Mahshahr, Iran, sm.peyghambarzadeh@mhrria.ac.ir

### ARTICLE INFORMATION

Original Research Paper  
Received 15 October 2014  
Accepted 30 November 2014  
Available Online 10 January 2015

**Keywords:**  
Microchannel  
Nanofluid  
Convective heat transfer  
Heat transfer coefficient

### ABSTRACT

In this study, the forced convective heat transfer of pure water and alumina-water nanofluid with volume concentration of 0.5% and 1%, as a cooling fluid through a microchannel heat exchanger was experimentally investigated. This microchannel consists of 17 parallel channels with a rectangular cross section with 400  $\mu\text{m}$  width, 560  $\mu\text{m}$  height, and 50 mm length. The experiments were performed for Reynolds number in the range of 600 to 1800, and constant heat flux conditions ( $19\ \text{W/cm}^2$ ). Stability studies showed that maximum stability of alumina-water nanofluid was obtained at  $\text{pH} = 3$  for 3 hours vibration in an ultrasonic bath. The variations of microchannel surface temperature, fluid temperature at the entrance region of the microchannel, average heat transfer coefficient of the nanofluid and pure water, and their friction factor were measured experimentally. Also, comparison between average Nusselt number with existing heat transfer relationships was performed. The results indicate that nanofluid shows considerable increase in the heat transfer in comparison to water, so that the maximum amount of average heat transfer coefficient for alumina-water nanofluid with 0.5% concentration is about 32.8% and for alumina-water nanofluid with 1% concentration is about 49.7% in comparison to pure water. It was also found that the heat transfer coefficient increases with increasing Reynolds number and nanoparticle volume fraction.

### ۱- مقدمه

سیستم‌های خنک‌کننده، یکی از مهم‌ترین دغدغه‌های صنایعی مانند میکروالکترونیک و هر جایی است که به نوعی با انتقال گرما مواجه باشند. با پیشرفت فناوری در صنایعی مانند میکروالکترونیک که در مقیاس‌های زیر صد نانومتر، عملیات‌های سریع و حجیم با سرعت‌های بسیار بالا (چند گیگا هرتز) اتفاق می‌افتد و استفاده از موتورهایی با توان و بار گرمایی بالا، اهمیت بسزایی پیدا می‌کند، استفاده از سیستم‌های خنک‌کننده پیشرفته و بهینه، کاری اجتناب ناپذیر است. بهینه‌سازی سیستم‌های انتقال گرمای موجود، در بیشتر مواقع به وسیله افزایش سطح آن‌ها صورت می‌گیرد که همواره باعث افزایش

Please cite this article using:

M. Salimi Gachuiiee, S. M. Peyghambarzadeh, S. H. Hashemabadi, A. Chabi, Experimental investigation of convective heat transfer of  $\text{Al}_2\text{O}_3$ /water nanofluid through the micro heat exchanger, *Modares Mechanical Engineering*, Vol. 15, No. 2, pp. 270-280, 2015 (In Persian)

برای ارجاع به این مقاله از عبارت ذیل استفاده نمایید:

www.mme.ac.ir

ارائه شده توسط آن‌ها بیانگر این است که ضریب کلی انتقال حرارت نانوسیال بیشتر از سیال پایه است و با افزایش غلظت نانوسیال از صفر تا  $0/4$  درصد حجمی، افزایش می‌یابد. همچنین نانوسیال ضریب کلی انتقال حرارت را تا  $8\%$  در مقایسه با سیال پایه در غلظت  $0/4\%$  افزایش می‌دهد. کربیمی و قاسمی [12] انتقال حرارت جابجایی نانوسیال آلومینیا-آب را در یک محفظه A شکل مورب به روش عددی بررسی کردند. نتایج آن‌ها ثابت کرد که افزایش پنج درصد حجمی نانوذرات به آب خالص می‌تواند باعث بهبود انتقال حرارت تا بیست درصد شود. شیخزاده و همکاران [13] جابجایی طبیعی نانوسیال‌های مختلف داخل یک محفظه مربعی با منبع حرارتی مرکزی را به صورت عددی ارزیابی کردند. آن‌ها نشان دادند که عدد ناسلت با افزایش کسر حجمی نانوذره افزایش می‌یابد.

امروزه پیشرفت چشمگیری در تکنولوژی تولید قطعات و سیستم‌های الکترونیکی صورت گرفته است. با رشد نیاز به اطلاعات زیاد در کمترین زمان ممکن، سیستم‌های الکترونیکی با سرعت عملیاتی بالا مورد نیاز است. افزایش سرعت پردازش و حجم داده‌ها، موجب تولید شار حرارتی زیاد می‌شود و باید این حرارت به سرعت از سیستم خارج شود تا سرعت پردازش اطلاعات بالا رود. یکی از سیستم‌هایی که می‌توان از آن برای انتقال حرارت در این موارد استفاده کرد، میکروکانال‌ها [14]. در مبدل‌های حرارتی دو پدیده مهم اتفاق می‌افتد. ابتدا سیال درون کانال‌های مبدل جاری شده و سپس بین سیال و دیواره کانال انتقال حرارت صورت می‌گیرد. بنابراین برای بهبود مبدل‌های حرارتی باید فرایندی که در این دو پدیده اتفاق می‌افتد، بهبود داده شود. اولاً از آنجا که نرخ انتقال حرارت به نسبت مساحت سطح به حجم بستگی دارد پس خواص سیالات انتقال حرارت (نانوسیالات) باعث ایجاد می‌کنند. ثانیاً بهبود خواص سیالات انتقال حرارت (نانوسیالات) باعث افزایش ضریب انتقال حرارت در مبدل‌های حرارتی می‌شود. مبدل‌های میکروکانال در صنایعی مانند میکروالکترونیک، هوافضا، پزشکی، رباتیک، مخابرات و صنایع اتومبیل کاربرد دارند [15]. تاکمن و پیس [16] نخستین بار استفاده از میکروکانال برای دفع شار حرارتی بالا را پیشنهاد کردند و آن را به عنوان وسیله‌ای برای دفع حرارت از مدارهای سیلیکونی ارائه دادند. این ایده نو منجر به طراحی‌های جدید و تحقیقات گسترده در زمینه خنکسازی با میکروکانال شد. آزمایش اول آن‌ها شامل طراحی و تست چاه حرارتی بود که روی سیلیکون ساخته شد. کانال‌های آن‌ها دارای عرض  $50\mu\text{m}$  و عمق  $300\mu\text{m}$  بود و آب بدنون یون به عنوان سیال خنک کننده با دمای  $71^\circ\text{C}$  و شار حرارتی  $790\text{W/cm}^2$  در این آزمایش مورد استفاده قرار گرفت. لی و گریملا [17] انتقال حرارت در ده میکروکانال مستطیلی را با استفاده از آب مقطر و در محدوده رینولدز  $300$  تا  $3500$  به صورت تجربی بررسی کردند. نتایج آن‌ها ثابت کرد که ضریب انتقال حرارت با کاهش اندازه کانال‌ها در یک جریان معین افزایش می‌یابد. لی و چوی [18] از یک نانوسیال به عنوان خنک کننده در یک گرمایزدای میکروکانال استفاده کردند و نرخ افزایش خنک کاری نانوسیال را با آب و نیتروژن مایع مقایسه کردند. افزایش آشفتگی و پراکنده‌گی ذرات معلق، علاوه بر افزایش هدایت گرمایی سیال از دلایل افزایش انتقال حرارت است که توسط آن‌ها ارائه شد. جونگ و همکاران [19] انتقال حرارت جابجایی نانوسیال  $\text{Al}_2\text{O}_3$ -آب را در یک میکروکانال مستطیلی در شرایط جریان آرام آزمایش کردند. آن‌ها ملاحظه کردند که ضریب انتقال حرارت برای کسر حجمی  $\varphi = 1/8$  بیش از  $32\%$  نسبت به سیال پایه افزایش یافت. اونپ و همکاران [20] انتقال حرارت

حجم و اندازه این دستگاه‌ها می‌شود، لذا برای غلبه بر این مشکل، به نسل جدید سیالات خنک کننده نیاز است و نانوسیالات به عنوان راهکاری جدید در این زمینه مطرح شده‌اند [1]. نانوسیالات گروه جدیدی از سیالات انتقال حرارت هستند که به وسیله معلق‌سازی نانوذرات در سیالات معمولی و متداول انتقال حرارت که به عنوان سیال پایه شناخته می‌شوند، به دست می‌آیند. پراکنده‌گی نانوذرات درون سیال می‌تواند کاملاً یا تقریباً همگن باشد [2]. متوسط اندازه ذرات استفاده شده در نانوسیالات، زیر  $50\text{ nm}$  است. هرچند امروزه تحقیقات به این اندازه محدود نبوده و ذراتی با توزیع اندازه‌های مختلف در دامنه  $1\text{ nm}$  تا  $100\text{ nm}$  مورد مطالعه قرار می‌گیرند [3]. استمن و همکاران [4] بازده گرمایی نانوسیال اکسید مس-آب با کسر  $0/9$  درصد تحت شرایط جریان درهم را ارزیابی کردند. مشخص شد ضریب انتقال حرارت بیشتر از  $15\%$  نسبت به آب خالص افزایش می‌یابد. کیم و همکاران [5] اثرات نفوذ گرمایی بر انتقال حرارت جابجایی نانوسیال دوجزئی (سیال پایه یک مخلوط دوجزئی است) را به صورت تئوری بررسی کردند. آن‌ها از مشخصات نانوسیال نظره و مس در این تحقیق استفاده کردند و نشان دادند که ذرات باعث یک حرکت جابجایی بینظیر در نانوسیالات دوجزئی شده و در نتیجه ضریب انتقال حرارت نانوسیال نظره از مس بیشتر می‌شود. پراکش و جیانلیس [6] هدایت گرمایی نانوسیال  $\text{Al}_2\text{O}_3$ -آب و اتیلن گلایکول را محاسبه کردند. نتایج نشان داد که هدایت گرمایی به تغییرات دما، اندازه نانوذره و غلظت نانوذره بستگی دارد.

ون و دینگ [7] انتقال حرارت جابجایی نانوسیال در ناحیه وروودی یک لوله و تحت شرایط جریان آرام را بررسی کردند. آزمایش آن‌ها با نانوسیال پایه آبی  $\text{Al}_2\text{O}_3-\gamma$  ( $\varphi=0/6\%-1/6$ ) و سدیم دودسیل بنزن سولفاتات به عنوان پراکنده کننده<sup>1</sup> و تحت شرط مزی شار حرارتی ثابت انجام شد. برای نانوسیال با  $\varphi=1/6$  ضریب انتقال حرارت محلی در ناحیه وروودی ( $x/D=63$ ) در  $Re=1050$ ،  $Re=41$  درصد و در  $Re=1600$  در همان دبی به دست آمد. پیغمبرزاده و همکاران [8] انتقال حرارت جابجایی اجباری نانوسیال آلومینیا-آب را به صورت آزمایشگاهی در یک رادیاتور خودرو در پنج غلظت مختلف و محدوده عدد رینولدز  $9000$  تا  $23000$  بررسی کردند. نتایج آن‌ها ثابت کرد که افزایش دبی جریان مایع می‌تواند باعث بهبود عملکرد انتقال حرارت شود. همچنین، استفاده از نانوسیال با غلظت‌های کم می‌تواند راندمان انتقال حرارت را  $45$  درصد در مقایسه با آب خالص افزایش دهد. در مطالعه دیگری، پیغمبرزاده و همکاران [9] بازده انتقال حرارت جابجایی نانوسیالات آلومینیا-آب و آلومینا-اتیلن گلایکول را در رادیاتور خودرو به طور تجربی مشخص کردند. نتایج آن‌ها نشان داد که نانوسیالات در مقایسه با سیال پایه خود، انتقال حرارت را به وضوح افزایش می‌دهند. در بهترین شرایط، افزایش انتقال حرارت در حدود  $40$  درصد در مقایسه با سیالات پایه ثبت شد. در تحقیق دیگری، پیغمبرزاده و همکاران [10] ضریب کلی انتقال حرارت نانوسیالات اکسید مس<sup>2</sup> و اکسید آهن<sup>3</sup> در سه غلظت  $0/15$ ،  $0/4$  و  $0/65$  درصد حجمی را به صورت آزمایشگاهی اندازه‌گیری کردند. آن‌ها مشاهده کردند که ضریب کلی انتقال حرارت هر دو نانوسیال در مقایسه با آب تا  $9\%$  افزایش می‌یابد. نارکی و همکاران [11] ضریب کلی انتقال حرارت نانوسیال اکسید مس-آب را به طور تجربی و تحت شرایط جریان آرام ( $100 < Re < 1000$ ) بررسی کردند. نتایج

1- Dispersant

2- CuO

3- Fe<sub>2</sub>O<sub>3</sub>

جدول 1 مشخصات نانوذره گاما اکسید آلومینیوم (آلومینا)

نانوذره گاما اکسید آلومینیوم (آلومینا)

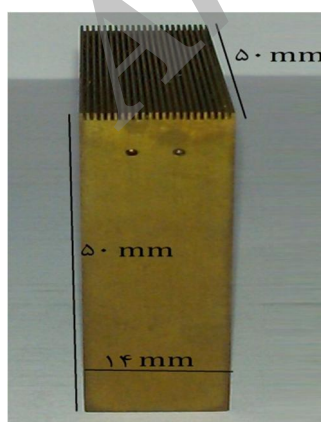
+99%	خلوص
20	اندازه متوسط (nm)
کروی	شكل
سفید	رنگ
765	گرمای ویژه ( $\text{Jkg}^{-1}\text{K}^{-1}$ )
3600	دانسیته ( $\text{kgm}^{-3}$ )
36	هدایت گرمایی ( $\text{Wm}^{-1}\text{K}^{-1}$ )

مختلف [26.25] برای نانوسيال آلومینا-آب،  $\text{pH} = 3$  مناسب‌ترین pH برای جلوگیری از رسوب و تنهشینی ذرات، تشخیص داده شد. همچنین نانوسيال مورد نظر به مدت 3 ساعت در یک حمام ارتعاش دهنده موفق صوت<sup>2</sup> برای پایدارسازی قرار گرفت. مشاهده شد که نانوسيال مذکور به مدت 8 ساعت پایدار باقی می‌ماند.

### 2-3- تجهیزات

چاه حرارتی میکروکanal شامل 17 کanal با سطح مقطع مستطیل شکل می‌باشد که عرض و ارتفاع کanalها به ترتیب  $400\mu\text{m}$  و  $560\mu\text{m}$  است. این چاه حرارتی دارای 50mm طول، 50mm ارتفاع و 14mm عرض می‌باشد. تصویر واقعی چاه حرارتی میکروکanal در شکل 1 نشان داده شده است. این میکروکanal از آلیاژی از جنس مس-بریلیم با هدایت حرارتی  $210\text{Wm}^{-1}\text{K}^{-1}$  ساخته شده است که توسط روش تخلیه بار الکتریکی<sup>3</sup> کanalهایی با ابعاد میکرومتر بر روی آن ایجاد شده است.

مخزن ذخیره سیال با حجم 3 لیتر، حمام دما ثابت جهت خنک کاری سیال خروجی از میکروکanal، پمپ دندمای<sup>4</sup> با دور متغیر با حداکثر هد 21 متر و ماکریتم دبی 1/95l/min، ترازوی دیجیتالی برای اندازه گیری دبی سیال به صورت جرمی، 5 عدد گرمکن فشنگی<sup>5</sup> با طول 3cm و قطر 6 mm تأمین شار حرارتی مورد نیاز که در زیر میکروکanal قرار می‌گیرند، منبع تغذیه با جریان مستقیم برای تأمین ولتاژ مورد نیاز گرمکن‌های فشنگی، 6 عدد ترموکوپل از نوع K برای اندازه گیری دمای دیواره در میکروکanal و همچنین اندازه گیری دمای سیال در ورودی و خروجی میکروکanal، فشارسنج



شکل 1 چاه حرارتی میکروکanal

2- Model:dk203 h, Bandelin, Germany

3- Wire Electrical Discharge Machine

4- Gear Pump

5- Cartridge Heater

جابجایی اجباری آب و نانوسيال سیلیکا را با کسر جرمی 0/2% به صورت آزمایشگاهی در یک گرمادای میکروکanal بررسی کردند. نتایج آزمایش آنها نشان داد که با افزایش دبی جریان برای آب و نانوسيال، انتقال حرارت افزایش می‌یابد. سوهل و همکاران [21] بازده حرارتی میکروکanal مسی و دایره‌ای شکل را با استفاده از سه نانوسيال مختلف  $\text{Al}_2\text{O}_3$ -آب- $\text{TiO}_2$ -آب و  $\text{CuO}$ -آب و  $\text{Al}_2\text{O}_3$ -آب و  $\text{TiO}_2$ -آب به صورت عددی بررسی کردند. آنها نتیجه گرفتند که بازده حرارتی با استفاده از نانوسيال  $\text{CuO}$ -آب به طور قابل ملاحظه‌ای افزایش می‌یابد، در حالی که نانوسيال  $\text{Al}_2\text{O}_3$ -آب و  $\text{TiO}_2$ -آب از این افزایش بازده حرارتی کمتری نشان می‌دهند. زانگ و همکاران [22] انتقال حرارت جابجایی نانوسيال آلومینا-آب با کسر جرمی‌های 0/25% و 0/51% را در یک میکروکanal دایره‌ای به صورت آزمایشگاهی ارزیابی کردند. نتایج آنها ثابت کرد که عدد ناسلت نانوسيال آلومینا-آب از عدد ناسلت آب خالص بیشتر است و این مقدار با افزایش عدد رینولدز و کسر حجمی نانوذره بیشتر می‌شود. بیشترین مقدار افزایش عدد ناسلت 0/6% و مربوط به نانوسيال با غلظت 0/77% بود.

افزایش شگرف انتقال حرارت در میکروکanal‌ها باعث شده که از آنها به عنوان وسایل دفع گرما در تجهیزات میکروالکترونیک، هواپا، خودروسازی و میکرواتکتورها استفاده شود. انتقال حرارت، زیاد، اندازه کوچک، نیاز به مقدار کم سیال خنک کننده از ویژگی میکروکanal‌هاست. بنابراین با توجه به اهمیت میکروکanal‌ها، در این پژوهش دمای سطح میکروکanal، ضریب انتقال حرارت متوسط در میکروکanal به وسیله آب خالص و نانوسيال آلومینا-آب با کسر حجمی‌های 0/5% و 1% در دهانه ورودی میکروکanal (به دلیل تأثیر ناحیه ورودی بر انتقال حرارت) و همچنین ضریب اصطکاک آنها به صورت آزمایشگاهی اندازه گیری می‌شود.

شایان ذکر است مطالعه آزمایشگاهی انتقال حرارت در میکرومبدل‌های حرارتی به واسطه اندازه کوچک آنها از پیچیدگی خاصی برخوردار است. لذا بیشتر مطالعات انجام شده در این حوزه، به تحلیل‌های عددی این مسئله می‌پردازد. به علاوه در این پژوهش، طراحی میکرومبدل به گونه‌ای انجام شده است که وضعیت انتقال حرارت در ناحیه در حال توسعه در ورودی میکروکanal‌ها با دقت بیشتری مورد مطالعه قرار داده شود. مطالعات آزمایشگاهی گذشته بیشتر به اندازه گیری دمای ورودی و خروجی از میکرومبدل پرداخته بودند و تغییرات دما در طول مبدل را مورد بررسی قرار نداده بودند [24.23].

## 2- بخش تجربی

### 2-1- مواد مورد نیاز

در این تحقیق، آب بدون یون به عنوان سیال پایه استفاده شد. نانوذره گاما اکسید آلومینیوم (آلومینا) با خلوص بالای 99 درصد از شرکت تحقیقاتی نانوماد<sup>1</sup> خریداری شد که مشخصات آن در جدول 1 ذکر شده است.

### 2-2- تهییه نانوسيال و پایدارسازی

نانوسيال مورد استفاده در این آزمایش با کسر حجمی 0/5 و 1 درصد به وسیله معلق کردن مقدار مشخصی از نانوذرات آلومینا با قطر متوسط 20 nm در آب بدون یون تهییه شد. با توجه به مطالعات صورت گرفته در مراجع

#### 2- نحوه انجام آزمایش

ابتدا مخزن ذخیره را از سیال خنک کننده پر کرده، سپس آزمایش با روشن کردن پمپ و گرمکن و در شرایط شار حرارتی ثابت شروع می‌شود. سیال در دمای ثابت  $24/5^\circ\text{C}$  به وسیله یک پمپ دندایی از مخزن ذخیره به داخل میکروکانال‌ها فرستاده شده و گرمای میکروکانال را جذب می‌کند و قبل از اینکه به مخزن ذخیره بازگردد، وارد یک حمام دما ثابت شارعی آب و بین شده و حرارت خود را تا دمای اولیه  $24/5^\circ\text{C}$  از دست می‌دهد. برای تنظیم دمای شار تولید شار حرارتی ثابت را نشان می‌دهد.

شکل 4 محل قرارگیری ترموموکوپل‌ها در میکروکانال را نشان می‌دهد. ترموموکوپل‌های 1 و 2 به ترتیب در فاصله  $0/8\text{mm}$  و  $1/5\text{mm}$  و ترموموکوپل‌های 3 و 4 به ترتیب در فاصله  $3\text{mm}$  و  $47\text{mm}$  از ابتدای کانال‌ها قرار دارند.

#### 3- محاسبه ضریب انتقال حرارت و ضریب اصطکاک در میکروکانال

گرمای جذب شده توسط سیال،  $q$ ، با یک موازنۀ انرژی به دست می‌آید:

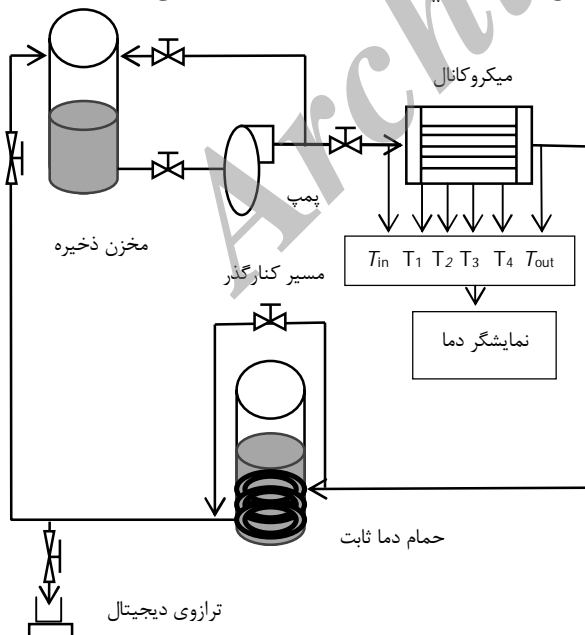
$$q = \dot{m}c_p(T_{\text{out}} - T_{\text{in}}) \quad (1)$$

در رابطه (1)،  $\dot{m}$ ،  $c_p$ ،  $T_{\text{out}}$  و  $T_{\text{in}}$  به ترتیب دبی جرمی، گرمای ویژه، دمای خروجی و دمای ورودی سیال هستند.

شار حرارتی که از طریق سطح مقطع میکروکانال به صورت هدایت منتقل می‌شود از رابطه (2) به دست می‌آید (چون کل میکروکانال عایق شده می‌توان انتقال حرارت از سطوح جانبی را ناچیز فرض کرد):

$$q''_{\text{cond}} = \frac{q}{A_{\text{cond}}} = \frac{q}{(14 \times 10^{-3}) \times (50 \times 10^{-3})} \quad (2)$$

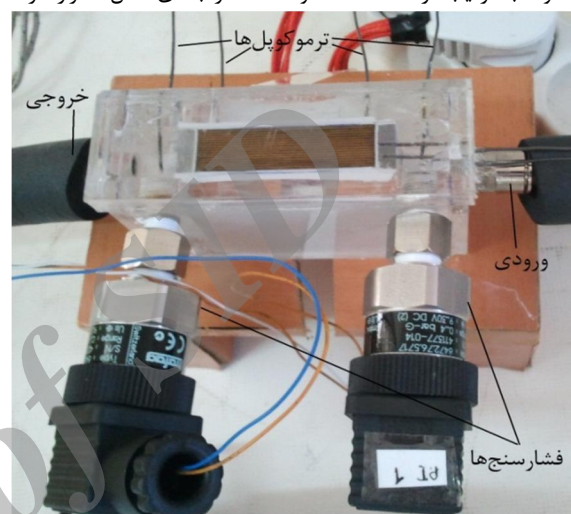
در رابطه (2)  $A_{\text{cond}}$  سطح مقطع کف کل میکروکانال است. از آنجا که ترموموکوپل‌های دیواره دقیقاً در فصل مشترک سطح و سیال قرار ندارند، دمای سطح میکروکانال،  $T_w$  به صورت رابطه (3) محاسبه می‌شود:



شکل 5 شکل کلی سیستم آزمایشگاهی مورد استفاده در این تحقیق

دیجیتال جهت اندازه گیری فشار سیال در ورودی و خروجی میکروکانال و دو نمایشگر دیجیتال یکی جهت مشاهده فشار و دیگری برای مشاهده دما دیگر تجهیزاتی هستند که در این سامانه آزمایشگاهی مورد استفاده قرار می‌گیرند. شکل 2 تصویر واقعی از میکروکانال درون محفظه‌ای عایق از جنس پلکسی گلاس<sup>1</sup>، ترموموکوپل‌ها و فشارسنج‌های دیجیتال را نشان می‌دهد.

شکل 3 محل قرارگیری ترموموکوپل‌های فشنگی در زیر میکروکانال برای تولید شار حرارتی ثابت را نشان می‌دهد.



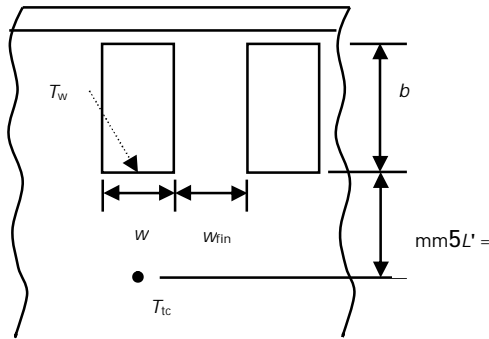
شکل 2 تصویر واقعی از میکروکانال درون عایقی از پلکسی گلاس، ترموموکوپل‌ها و فشارسنج‌های دیجیتال



شکل 3 محل قرارگیری گرمکن‌های فشنگی در زیر میکروکانال



شکل 4 محل قرارگیری ترموموکوپل‌ها در میکروکانال



شکل 6 سطح مقطع میکروکanal

ورودی، افت فشار انقباض ناگهانی از فضای کم عمق به میکروکanal در ورودی، افت فشار در طول میکروکanal و  $\Delta P_{e2}$ ، افت فشار انبساط ناگهانی از میکروکanal به فضای کم عمق در خروجی،  $\Delta P_{e1}$ ، افت فشار انبساط ناگهانی از فضای کم عمق به فضای عمیق در خروجی است که در شکل 7 جزئیات آن مشاهده می‌شود. برای محاسبه هر کدام از افتهای فرعی از روابط (18-14) استفاده شده است [28]:

$$\Delta P_{c1} = \frac{1}{2} \rho (u_{p2,in}^2 - u_{p1,in}^2) + \frac{K_{c1}}{2} \rho u_{p2,in}^2 \quad (14)$$

$$\Delta P_{c2} = \frac{1}{2} \rho (u_{in}^2 - u_{p2,in}^2) + \frac{K_{c2}}{2} \rho u_{in}^2 \quad (15)$$

$$\Delta P_{e2} = \frac{1}{2} \rho (u_{p2,out}^2 - u_{out}^2) + \frac{K_{e2}}{2} \rho u_{out}^2 \quad (16)$$

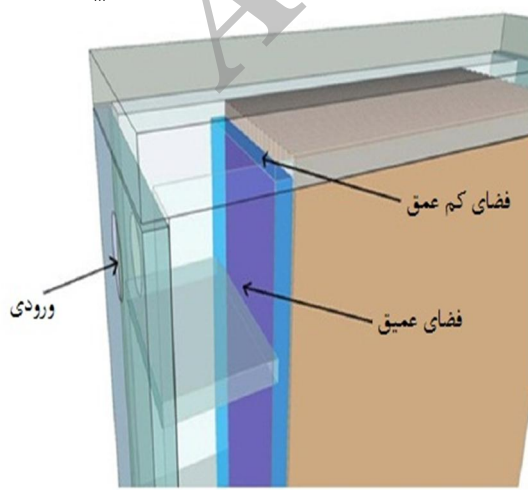
$$\Delta P_{e1} = \frac{1}{2} \rho (u_{p1,out}^2 - u_{p2,out}^2) + \frac{K_{e1}}{2} \rho u_{p2,out}^2 \quad (17)$$

$$\Delta P_{ch} = \Delta P_{Total} - (\Delta P_{c1} + \Delta P_{c2} + \Delta P_{e1} + \Delta P_{e2}) \quad (18)$$

$K_{c2}$  و  $K_{e1}$  ضریب افت انقباض ناگهانی و  $K_{e2}$  ضریب افت انبساط ناگهانی هستند که از مرجع [29] به دست می‌آیند. افت فشار در کانالی با قطر هیدرولیکی  $D_h$  و با فاصله  $x$  از ابتدای کانال از روابط (19.20) به دست می‌آید [29]:

$$\Delta P_{ch} = \frac{2(f_{app} Re) \mu u_m x}{D_h^2} \quad (19)$$

$$f_{app} Re = \frac{\Delta P_{ch} D_h^2}{2 \mu u_m x} \quad (20)$$



شکل 7 ورودی میکروکanal

$$T_w = T_{tc} - \frac{q''_{cond} \times L'}{K_s} \quad (3)$$

$T_{tc}$  دمایی است که ترموموپل نشان می‌دهد و  $L'$  فاصله کف میکروکanal تا ترموموپل است که در شکل 6 مشاهده می‌شود. گرمای منتقل شده در واحد سطح، بر اثر جابجایی توسط سیال از رابطه (4) بدست می‌آید:

$$q''_{conv} = \frac{q}{A_{conv} \times N} = \frac{q}{(2\eta_{fin} b + w)L \times N} \quad (4)$$

که  $A_{conv}$  سطح یک کانال (که در آن انتقال حرارت جابجایی توسط سیال صورت می‌گیرد)،  $b$  ارتفاع کانال،  $w$  عرض کانال،  $L$  طول میکروکanal و  $N$  تعداد کانال‌هاست.  $\eta_{fin}$  بازده پره است و چون بالای چاه حرارتی عایق می‌باشد برابر است با [27]:

$$\eta_{fin} = \frac{\tanh(mb)}{mb} \quad (5)$$

$$m = \sqrt{\frac{h}{2 K_s W_{fin}}} \quad (6)$$

که  $h$  و  $W_{fin}$  به ترتیب ضریب انتقال حرارت جابجایی سیال، هدایت گرمایی میکروکanal و عرض فین هستند.

$$q''_{conv} \times (2\eta_{fin} b + w) x \times N = \dot{mc}_p (T_{b,x} - T_{in}) \quad (7)$$

بنابراین  $T_{b,x}$ ، دمای بالک سیال نیز از رابطه (8) به دست می‌آید:

$$T_{b,x} = T_{in} + \frac{q''_{conv} \times (2\eta_{fin} b + w) x \times N}{\dot{mc}_p} \quad (8)$$

فاصله از ابتدای کانال است و  $h_x$  ضریب انتقال حرارت موضعی نیز برابر است با:

$$h_x = \frac{q''_{conv}}{T_{w,x} - T_{b,x}} = \frac{q}{(2\eta_{fin} b + w)L \times N \times (T_{w,x} - T_{b,x})} \quad (9)$$

و ضریب انتقال حرارت متوسط از رابطه (10) برابر است با:

$$h_{av} = \frac{\int_{x1}^{x2} h dx}{\int_{x1}^{x2} dx} \quad (10)$$

با فرض  $\eta_{fin} = 1$  ضریب انتقال حرارت از رابطه (9) محاسبه می‌شود. حال ضریب انتقال حرارت به دست آمده را در رابطه (6) و سپس (5) قرار داده تا راندمان فین محاسبه شود. راندمان فین به دست آمده را در رابطه (4) قرار داده و مجدداً ضریب انتقال حرارت جدید محاسبه می‌شود و در نهایت با سه بار تکرار محاسبات ضریب انتقال حرارت، مقدار ثابتی به دست می‌آید. عدد ناسلت هم از رابطه (11) به دست می‌آید:

$$Nu = \frac{h D_h}{K_f} \quad (11)$$

که  $h$ ،  $K_f$  و  $D_h$  به ترتیب ضریب انتقال حرارت جابجایی سیال، هدایت گرمایی سیال و قطر هیدرولیکی هستند. قطر هیدرولیکی هم با توجه به شکل 6 از رابطه (12) محاسبه می‌شود:

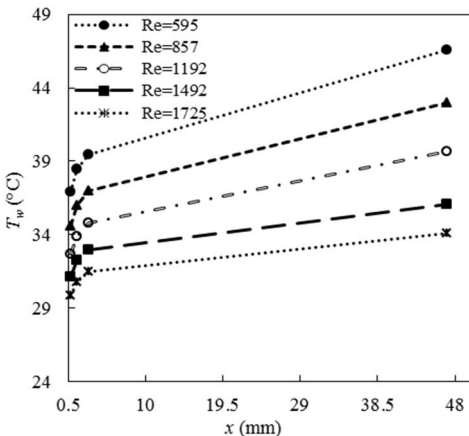
$$D_h = \frac{4A}{P} = \frac{4b \times w}{2(b+w)} \quad (12)$$

افت فشار کل نیز از رابطه (13) به دست می‌آید [28]:

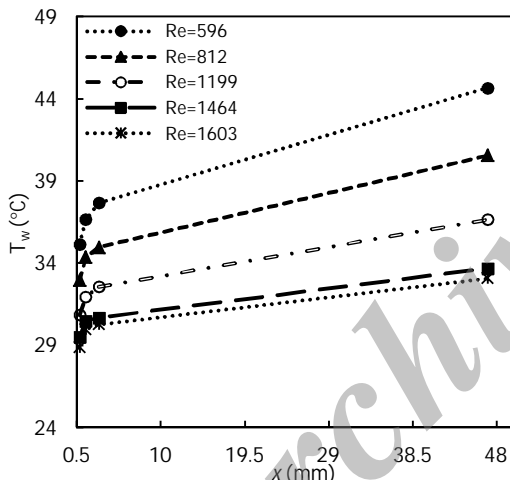
$$\Delta P_{Total} = \Delta P_{c1} + \Delta P_{c2} + \Delta P_{ch} + \Delta P_{e1} + \Delta P_{e2} \quad (13)$$

افت فشار انقباض ناگهانی از فضای عمیق به فضای کم عمق در  $\Delta P_{c1}$

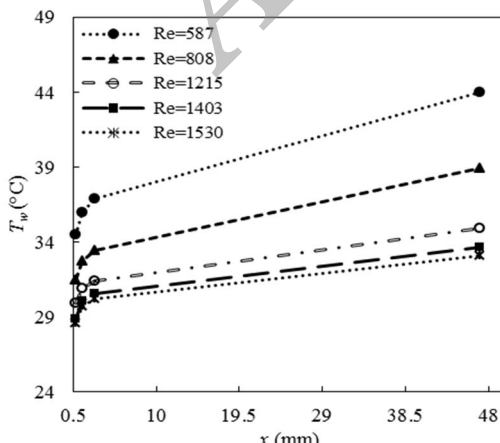
رود، دمای سطح میکروکانال افزایش می‌یابد. تغییرات دمای سطح در دهانه ورودی میکروکانال غیرخطی و پس از آن تقریباً خطی است که علت آن تأثیر ناحیه ورودی است [19]. به علاوه با مقایسه سه شکل ۸، ۹ و ۱۰ این نکته قابل مشاهده است که با افزایش نانوذرات به سیال پایه، دمای دیواره خنکتر می‌شود. این مسئله اهمیت خنکسازی با نانوپیاس در مقایسه با آب را نشان می‌دهد.



شکل ۸ تغییرات دمای سطح میکروکانال برای آب در طول میکروکانال و در اعداد رینولدز مختلف



شکل ۹ تغییرات دمای سطح میکروکانال برای نانوپیاس آلومینیم ۰/۵٪ در طول میکروکانال و در اعداد رینولدز مختلف



شکل ۱۰ تغییرات دمای سطح میکروکانال برای نانوپیاس آلومینیم ۱٪ در طول میکروکانال و در اعداد رینولدز مختلف

ضریب اصطکاک ظاهري<sup>۱</sup> است که هم اثر ناحیه در حال توسعه و هم ناحیه کاملاً توسعه یافته را در نظر می‌گیرد، زیرا در خیلی از کاربردهای عملی طول کانال در ناحیه‌ی در حال توسعه می‌باشد.

#### ۴- محاسبه خواص فیزیکی نانوپیاس

یکی از معروف‌ترین و پایه‌ای‌ترین روابط هدایت حرارتی مخلوط‌ها رابطه (21) است که توسط همیلتون و کراسر [30] بیان شد و محققان زیادی از آن استفاده کرده‌اند:

$$k_{nf} = \frac{k_p + (n-1)k_f - \varphi(n-1)(k_f - k_p)}{k_p + (n-1)k_f + \varphi(k_f - k_p)} k_f \quad (21)$$

در رابطه (20)،  $n$  ضریب شکل می‌باشد و برابر است با  $n=3/\psi$  و  $\psi=3/4$  در رابطه کرویت ذره است. برای ذرات کروی  $n=3$  و برای ذرات استوانه‌ای  $n=6$  می‌باشد. جهت محاسبه ویسکوزیته نانوپیاس آلومینیم-آب از رابطه (21) استفاده شد [31]:

$$\mu_{nf} = \mu_f(1 + 2.5\varphi + 6.2\varphi^2 + \dots) \quad (22)$$

از قانون مخلوط‌ها که تمامی محققان جهت استفاده از آن برای محاسبه چگالی نانوپیاس‌لات اجماع نظر دارند، برای محاسبه دانسیته نانوپیاس استفاده شد [32]:

$$\rho_{nf} = (1-\varphi)\rho_f + \varphi\rho_p \quad (23)$$

$$\text{گرمای ویژه نیز از رابطه (24) به دست می‌آید:} \quad (33) \\ C_{p,nf} = \frac{(1-\varphi)(\rho C_p)_f + \varphi(\rho C_p)_p}{\rho_{nf}} \quad (24)$$

#### ۵- تحلیل خطای

تحلیل خطای در این آزمایش به وسیله روش موفات [34] انجام شده است. در این آزمایش دقت ترموموپل  $\pm 0.5/2^\circ\text{C}$  و دقت فشارسنج دیجیتال  $\pm 0.5\%$  خطای عدد رینولدز، ضریب انتقال حرارت و ضریب اصطکاک در جدول ۲ قابل مشاهده است.

#### ۶- نتایج و بحث

##### ۶-۱- دمای سطح میکروکانال

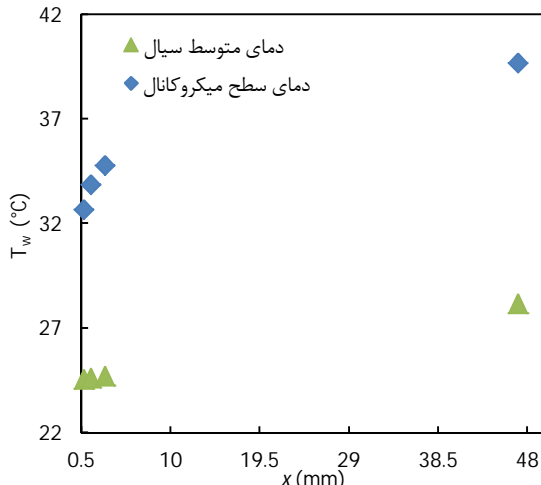
شکل‌های ۸ تا ۱۰ تغییرات دمای سطح میکروکانال را به ترتیب برای آب خالص، نانوپیاس آلومینیم ۰/۵٪ و نانوپیاس آلومینیم ۱٪ بر حسب طول میکروکانال و در اعداد رینولدز مختلف نشان می‌دهد. در اعداد رینولدز بالا، جنبش و برهمنکش بین نانوذرات و مجرای دیواره باعث افزایش انتقال حرارت شده [35] و این افزایش انتقال حرارت باعث کاهش دمای سطح میکروکانال می‌شود که در شکل‌های ۸ تا ۱۰ مشهود است. همچنین در یک عدد رینولدز و غلظت ثابت هرچه که از ابتدای کانال به سمت انتهای آن پیش

جدول ۲ خطای پارامترهای اندازه‌گیری شده

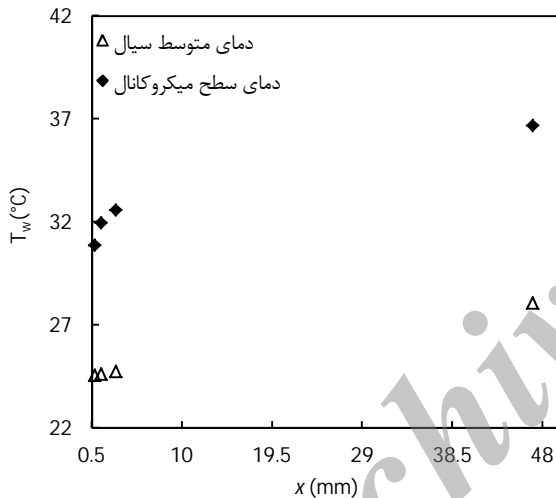
پارامتر	بیشترین خطای
عدد رینولدز	%6/5
ضریب انتقال حرارت	%15/5
عدد ناسلت	%16
ضریب اصطکاک	%7

1- Fanning

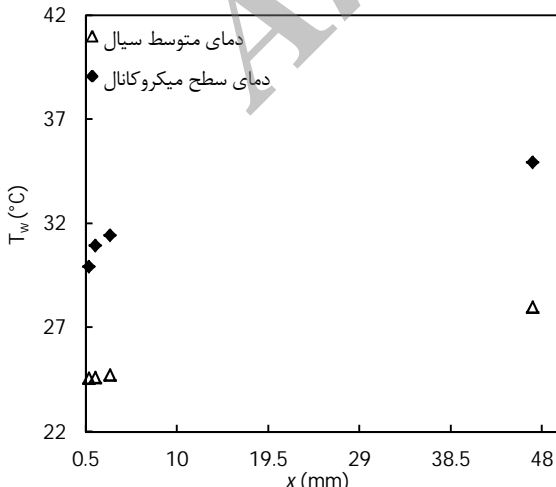
سمت انتهای کانال، به دليل کاهش ضریب انتقال حرارت موضعی، افزایش می‌یابد (ابطه ۹).



شکل 13 تغییرات دمای سطح میکروکانال و دمای متوسط آب در طول میکروکانال و در عدد رینولدز 1192



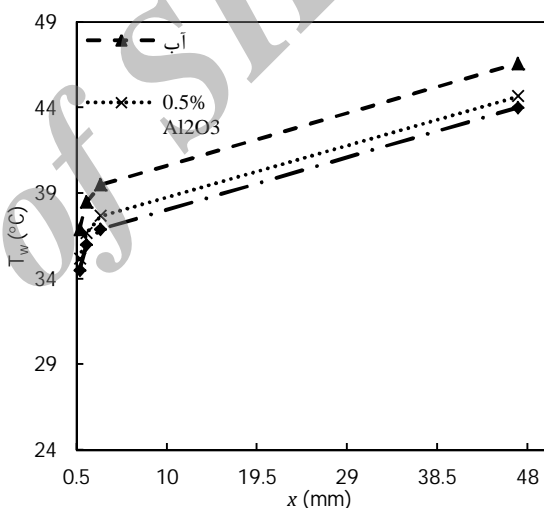
شکل 14 تغییرات دمای سطح میکروکانال و دمای متوسط نانوسيال آلومینیمی ۰/۵٪ در طول میکروکانال و در عدد رینولدز 1199 در عدد رینولدز 595



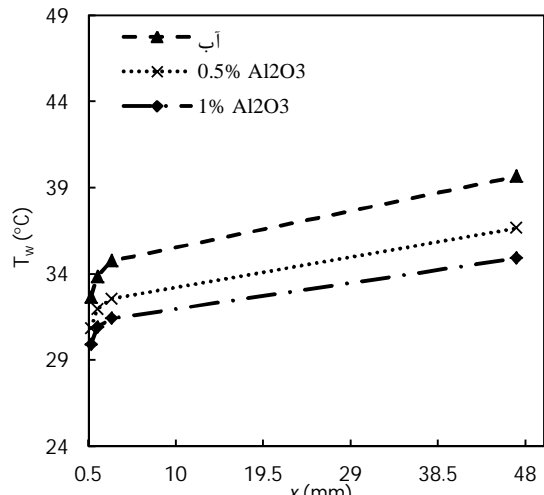
شکل 15 تغییرات دمای سطح میکروکانال و دمای متوسط نانوسيال آلومینیمی ۱٪ در میکروکانال و در عدد رینولدز 1215 در عدد رینولدز 595

شکل‌های 11 و 12 تغییرات دمای سطح میکروکانال را برای آب خالص، نانوسيال آلومینیمی ۰/۵٪ و نانوسيال آلومینیمی ۱٪ برحسب طول میکروکانال و در عدد رینولدز به عنوان نمونه نشان می‌دهد. در اینجا نیز مشاهده می‌شود که دمای سطح میکروکانال افزایش می‌یابد و همچنین استفاده از نانوسيال باعث افزایش ضریب انتقال حرارت شده و درنتیجه دمای سطح کاهش می‌یابد. استفاده از نانوسيال، علاوه بر افزایش هدایت گرمایی باعث افزایش عوامل دیگری مانند حرکت براونی<sup>۱</sup> و مهاجرت ذره شده [35] که باعث بهبود انتقال حرارت می‌شود و در نهایت دمای سطح کاهش می‌یابد.

شکل‌های 13 تا 15 نیز تغییرات دمای سطح میکروکانال و دمای متوسط آب، نانوسيال آلومینیمی ۰/۵٪ و نانوسيال آلومینیمی ۱٪ برحسب طول میکروکانال در اعداد رینولدز نزدیک به هم را نشان می‌دهد. با توجه به رابطه (8) مشاهده می‌شود که در یک دبی جرمی و شار گرمایی ثابت، با حرکت به سمت انتهای کانال دمای سیال به صورت خطی افزایش می‌یابد. اختلاف دمای سطح میکروکانال و دمای متوسط سیال به دلیل بزرگ بودن ضریب انتقال حرارت موضعی در ورودی، کم است. این اختلاف دما با حرکت به



شکل 11 تغییرات دمای سطح میکروکانال برای آب و نانوسيال با غلظت‌های مختلف در طول میکروکانال و در عدد رینولدز 595



شکل 12 تغییرات دمای سطح میکروکانال برای آب و نانوسيال با غلظت‌های مختلف در طول میکروکانال و در عدد رینولدز 1192

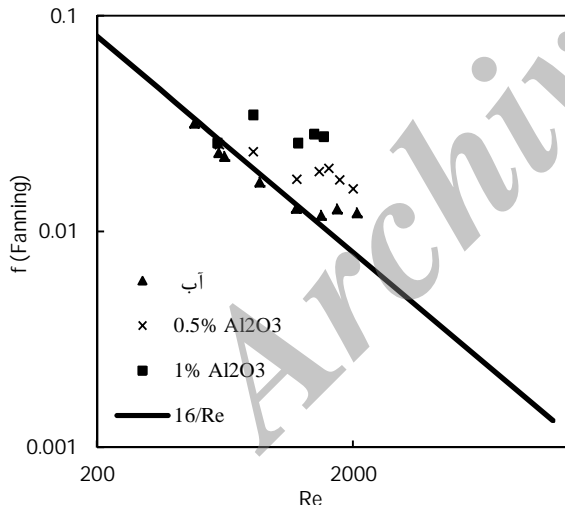
1- Brownian Motion

ذکر شد). افت فشار و در نتیجه ضریب اصطکاک نانوسيال بیشتر از آب خالص است. رسوب نانوذرات نیز از دیگر عوامل افزایش افت فشار بیشتر نانوسيال نسبت به آب خالص است [37]. جدول 3 مقدار افزایش افت فشار برای آب و نانوسيال را در اعداد رینولدز مختلف نشان می‌دهد. در اینجا نیز مشاهده می‌شود که چون ویسکوزیته نانوسيال از آب خالص بیشتر است، در یک عدد رینولدز ثابت افت فشار نانوسيال بیشتر می‌شود. همچنین با توجه به رابطه (19) با افزایش عدد رینولدز برای یک سیال مشخص، افت فشار افزایش می‌پابد.

جدول 3 مقدار افزایش افت فشار برای آب و نانوسيال را در اعداد رینولدز مختلف نشان می‌دهد. در اینجا نیز مشاهده می‌شود که چون ویسکوزیته نانوسيال از آب خالص بیشتر است، در یک عدد رینولدز ثابت، افت فشار نانوسيال بیشتر می‌شود. همچنین با توجه به رابطه (19)، با افزایش عدد رینولدز برای یک سیال مشخص، افت فشار افزایش می‌پابد.

#### 4-6 مقایسه نتایج آزمایشگاهی با روابط موجود انتقال حرارت جابجایی

شكلهای 18 تا 20 مقایسه بین عدد ناسلت متوسط به دست آمده از داده‌های آزمایشگاهی به ترتیب برای آب، آلومینای ۰/۵٪ و آلومینای ۱٪ با روابط تجربی پیشنهاد شده برای محاسبه عدد ناسلت را نشان می‌دهد. در شکل 18 مشاهده می‌شود که برای سیال آب، رابطه سیدر-تیت [38]، نتایج تئوری لی [39] و رابطه ژانگ [22] به ترتیب دارای مطلق مطلقاً نسبت اختلاف داده آزمایشگاهی با رابطه تئوری به داده آزمایشگاهی. رابطه سیدر-تیت برای



شکل 17 تأثیر عدد رینولدز بر ضریب اصطکاک نانوسيال آلومینا-آب با کسر حجمی مختلف و همچنین آب خالص

جدول 3 مقدار افزایش افت فشار آب و نانوسيال

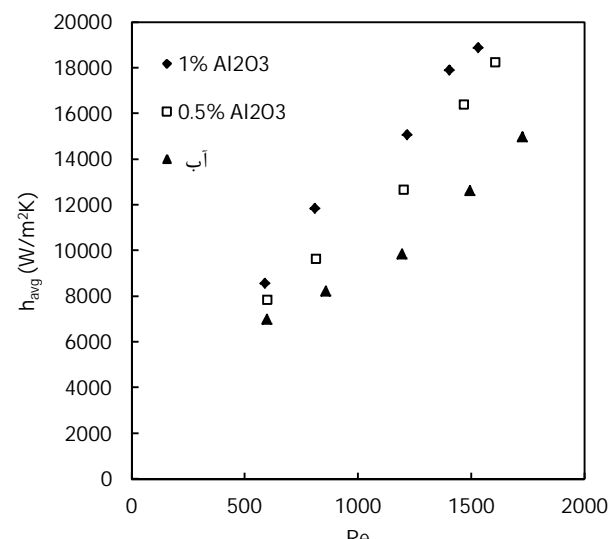
آلمینای ۱٪	افت فشار نانوسيال (Pa)	افت فشار آب آلمینای ۰/۵٪ (Pa)	افت فشار آب آلمینای ۱٪ (Pa)	عدد رینولدز
6300	6000	5500	600	
16000	11000	8000	800	
28500	19000	14000	1200	
42000	30000	19000	1400	

#### 6-2- ضریب انتقال حرارت جابجایی متوسط

شکل 16 ضریب انتقال حرارت جابجایی متوسط نانوسيال آلومینا - آب با کسرهای حجمی ۰/۵٪ و آب خالص را بر حسب عدد رینولدز نشان می‌دهد. در این آزمایش کمترین مقدار طول ناحیه ورودی هیدرودینامیکی ( $L_h = 0.05 \text{Re} D_h$ ) ۱۳/۷mm و کمترین مقدار طول ناحیه ورودی گرمایی ( $L_i = 0.1 \text{Re} D_h \text{Pr}$ ) در عدد رینولدز ۵۸۶ است [29]. بنابراین با توجه به اینکه طول میکروکانال ۵۰mm می‌باشد پس جریان توسعه نیافته است و ضریب انتقال حرارت در جریان آرام توسعه نیافته تابع اعداد رینولدز و پرانتل و در نانوسيالات تابع کسر حجمی نانوذره نیز می‌باشد [36]. در اینجا مشاهده می‌شود که با افزایش عدد رینولدز و استفاده از نانوسيال، ضریب انتقال حرارت افزایش می‌یابد. علاوه بر افزایش قابل ملاحظه هدایت حرارتی، از عوامل عمدۀ افزایش انتقال حرارت توسعه نانوسيالات می‌توان به افزایش آشفتگی گردابه‌ها، کوچک شدن ضخامت لایه مرزی، پراکندگی یا اختلاط معکوس<sup>۱</sup> نانوذرات معلق اشاره کرد [36]. از دیگر مکانیسم‌هایی که باعث افزایش انتقال حرارت در نانوسيالات می‌شوند عبارتند از حرکت براوونی، تشکیل لایه مایع در سطح مشترک ذره-مایع، (یک لایه مایع شبۀ جامد در فصل مشترک بین مایع و نانوذرات وجود دارد که به دلیل نیروی بین مولکولی قوی بین اتم‌های مایع و جامد به وجود می‌آید)، ماهیت انتقال حرارت در نانوذرات (از هر ذره به ذرات مجاور یا حرکت فوتون<sup>۲</sup> در نانوذرات) [15]. بیشترین مقدار افزایش ضریب انتقال حرارت متوسط برای نانوسيال آلومینا-آب با غلظت ۰/۵٪ حدود ۳۲/۸٪ و برای نانوسيال آلومینا-آب با غلظت ۱٪ حدود ۴۹/۷٪ نسبت به آب خالص می‌باشد.

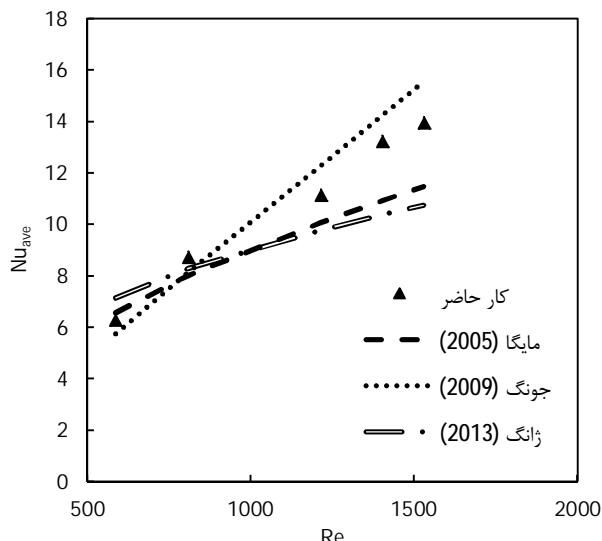
#### 6-3- ضریب اصطکاک

شکل 17 نمودار ضریب اصطکاک نانوسيال آلومینا-آب با غلظت‌های مختلف و آب خالص را که از رابطه (18) به دست آمده بر حسب عدد رینولدز نشان می‌دهد. همان‌طور که در این شکل ملاحظه می‌شود نتایج آب خالص مطابقت خوبی با رابطه شناخته شده ۱۶/Re برای جریان آرام دارد. به دلیل اینکه ویسکوزیته نانوسيال از آب خالص بیشتر است (که در رابطه (20)



شکل 16 تأثیر عدد رینولدز بر ضریب انتقال حرارت متوسط نانوسيال آلومینا-آب

1- Backmixing  
2- Phonon Movement



شکل 20 مقایسه عدد ناسلت متوسط آزمایشگاهی به دست آمده برای آلومینیا ۱٪ با روابط انتقال حرارت جابجایی

از مهمترین عوامل ناسازگاری بین روابط پیشنهاد شده انتقال حرارت با  
دادهای آزمایشگاهی می‌توان به تأثیر ناحیه ورودی (یه علت طول نسبتاً  
کوتاه میکوکانال‌ها، تأثیر ناحیه ورودی نمی‌تواند ناچیز باشد. تأثیر ناحیه  
ورودی در اعداد رینولدز بالا بیشتر قابل توجه است). خطای در اندازه‌گیری  
آزمایش‌ها از جمله خطای در اندازه‌گیری ابعاد کانال و دمای سطح اشاره کرد  
[29].

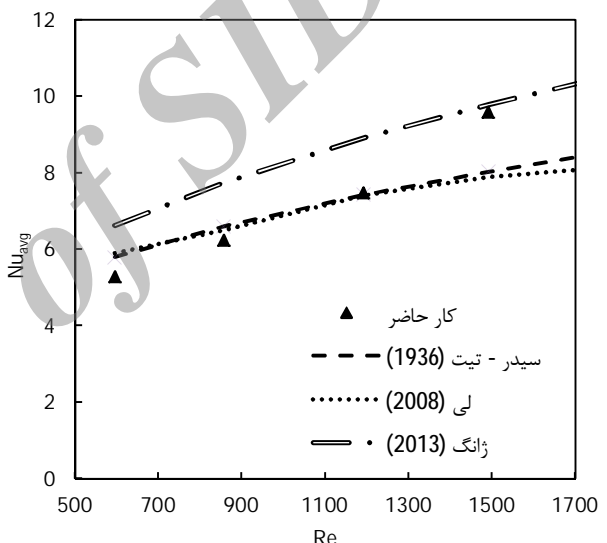
7- نتیجہ گیری

در این مقاله بازده حرارتی آب و نانوسیال آلومینیا - آب در یک گرمایشگاه میکروکانال، به صورت آزمایشگاهی بررسی شد و مشخص شد که میکروکانال‌ها در مقایسه با تبادل کننده‌های معمولی دفع گرما دارای ضریب انتقال حرارت خیلی زیاد، اندازه بسیار کوچک و نیاز به مقدار کم سیال خنک کننده هستند. افزایش غلظت نانوذره در سیال و عدد رینولدز باعث کاهش دمای سطح میکروکانال می‌شود و در یک عدد رینولدز و غلظت ثابت هر چه که از ابتدای کانال به سمت انتهای آن پیش رود، دمای سطح دیواره کانال به دلیل کاهش ضریب انتقال حرارت موضعی در طول میکروکانال افزایش می‌یابد. همچنین با افزایش عدد رینولدز و کسر حجمی نانوذره ضریب انتقال حرارت متوسط افزایش می‌یابد. بیشترین مقدار افزایش ضریب انتقال حرارت متوسط برای نانوسیال آلومینیا-آب با غلظت  $0/5$  حدود  $32/8\%$  و برای نانوسیال آلومینیا-آب با غلظت  $1\%$  حدود  $49/7\%$  نسبت به آب خالص است. با توجه به اینکه ویسکوزیته نانوسیال از آب خالص بیشتر است، افت فشار و در نتیجه ضریب اصطکاک نانوسیال بیشتر از آب خالص می‌باشد. همچنین عدد ناسلت متوسط نانوسیال با روابط تحریری و نتایج تئوری مقایسه شد. برای نانوسیال آب رابطه سیدر-تیت [38]، نتایج تئوری لی [39] و رابطه ژانگ [22] به ترتیب دارای متوسط خطای مطلق  $11/7\%$ ،  $12/7\%$  و  $15/8\%$  برای نانوسیال آلومینیا  $0/5$  روابط مایگا [40]، جونگ [19] و ژانگ [22] به ترتیب با متوسط خطای مطلق  $10/6\%$ ،  $11/8\%$  و  $14\%$  و برای نانوسیال آلومینیا  $1\%$  روابط جونگ [19]، مایگا [40] و ژانگ [22] به ترتیب با متوسط خطای مطلق  $11/4\%$  و  $15\%$  انطباق خوبی با داده‌های آزمایشگاهی داشتند.

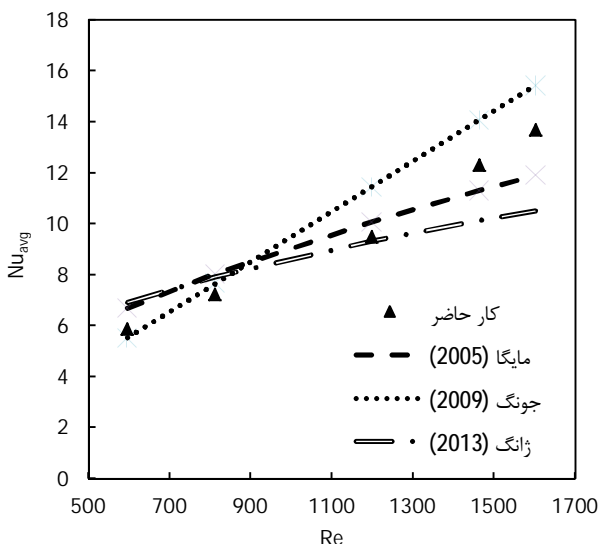
محاسبه عدد ناسلت داخل لوله، نتایج تئوری لی مربوط به عدد ناسلت آب درون میکروکانال و رابطه زانگ [22] که هم برای محاسبه عدد ناسلت ناوشیال آلومینا-آب و هم برای محاسبه عدد ناسلت آب خالص در میکروکانال و تحت شرایط جریان آرام ارائه شده است.

در شکل 19 مشاهده می شود که برای نانوسيال آلومینیا ۰/۵٪ روابط مایگا [40]، جونگ [19] و ژانگ [22] به ترتیب با متوسط خطای مطلق  $10/6$ ٪ و  $11/8$ ٪ و  $14$ ٪ نتایج آزمایشگاهی با روابط موجود مقایسه شده است. رابطه مایگا [40] برای محاسبه عدد ناسلت نانوسيال آلومینیا-آب داخل لوله و تحت شرایط حریان آرام و روابط جونگ [19] و ژانگ [22] نیز برای تخمین عدد ناسلت نانوسيال آلومینیا-آب در میکروکاتال و تحت شرایط حریان آرام هستند.

از شکل 20 نیز می‌توان دریافت که برای نانوسيال آلومینیا ۱% روابط جونگ [19]، مایکا [40] و ژانگ [22] به ترتیب با متوسط خطای مطلق ۹/۴٪ و ۱۵٪ انبساطی خوبی با داده‌های آزمایشگاهی دارند.



شکل 18 مقایسه عدد ناسلت متوسط آزمایشگاهی به دست آمده برای آب با روابط انتقال حرارت جابجایی



شکل 19 مقایسه عدد ناسلت متوسط آزمایشگاهی به دست آمده برای الومینای %0/5 با روابط انتقال حرارت جایجاوی

8- فهرست علائم	
nanopipal	nf
خروجهی	out
نانونذره	p
فضای عمیق	p1
فضای کم عمق	p2
جامد	S
ترموکوپل	tc
سطح	w
محلي	x
مساحت ( $\text{m}^2$ ) A	
ارتفاع کانال (m)	b
گرمای ویژه در فشار ثابت ( $\text{Jkg}^{-1}\text{K}^{-1}$ )	$C_p$
قطر هیدرولیکی (m)	$D_h$
ضریب اصطکاک ظاهری	$f_{app}$
ضریب انتقال حرارت ( $\text{Wm}^{-2}\text{K}^{-1}$ )	$h$
ضریب انتقال حرارت محلی ( $\text{Wm}^{-2}\text{K}^{-1}$ )	$h_x$
هدایت گرمایی ( $\text{Wm}^{-1}\text{K}^{-1}$ )	$K$
ضریب افت انقباض ناگهانی	$K_{c1} K_{c2}$
ضریب افت انبساط ناگهانی	$K_{e1} K_{e2}$
طول میکروکانال (m)	L
طول ورودی هیدرودینامیکی (m)	$L_h$
طول ورودی گرمایی (m)	$L_t$
دبی جرمی ( $\text{kgs}^{-1}$ )	$m$
تعداد کانال‌ها	N
افت فشار کل (bar)	$\Delta P_{Total}$
افت فشار در طول میکروکانال (bar)	$\Delta P_{ch}$
افت فشار انقباض ناگهانی (bar)	$\Delta P_{c2}, \Delta P_{c1}$
افت فشار انبساط ناگهانی (bar)	$\Delta P_{e2}, \Delta P_{e1}$
شار حرارتی ( $\text{Wm}^{-2}$ )	$q''$
دما ( $^\circ\text{C}$ )	T
عرض کانال (m)	W
عرض فین (m)	$W_{fin}$
فاصله از ابتدای کانال (m)	X
نماد یونانی	
بازده پره	$\eta_{fin}$
ویسکوزیته دینامیکی ( $\text{kgm}^{-1}\text{s}^{-1}$ )	$\mu$
دانسیته ( $\text{kgm}^{-3}$ )	$\rho$
کسر حجمی	$\varphi$
اعداد بدون بعد	
عدد ناسلت	$Nu = hd/k$
عدد رینولدز	$Re = \rho ud/\mu$
عدد پرانتل	$/k \mu Pr = C_p$
زیرنویس‌ها	
توده	b
سیال پایه	f
ورودی	in
میانگین	m

## 9- مراجع

- [1] <http://www.sahandsi.ir>, 2013
- [2] S. U. S. Choi, J. Eastman, *Enhancing thermal conductivity of fluids with nanoparticles*, Argonne National Lab., IL (United States), pp. 1995.
- [3] P. Keblinski, J. A. Eastman, D. G. Cahill, *Nanofluids for thermal transport*, *Materials Today*, Vol. 8, No. 6, pp. 36-44, 2005.
- [4] J. Eastman, U. Choi, S. Li, G. Soyez, L. Thompson, R. DiMelfi, Novel thermal properties of nanostructured materials, *Journal of Metastable and Nanocrystalline Materials*, Vol. 2, pp. 629-634, 1999.
- [5] J. Kim, Y. T. Kang, C. K. Choi, Soret and Dufour effects on convective instabilities in binary nanofluids for absorption application, *International journal of refrigeration*, Vol. 30, No. 2, pp. 323-328, 2007.
- [6] M. Prakash, E. Giannelis, Mechanism of heat transport in nanofluids, *Journal of Computer-aided Materials Design*, Vol. 14, No. 1, pp. 109-117, 2007.
- [7] D. Wen, Y. Ding, Experimental investigation into convective heat transfer of nanofluids at the entrance region under laminar flow conditions, *International Journal of Heat and Mass Transfer*, Vol. 47, No. 24, pp. 5181-5188, 2004.
- [8] S. M. Peyghambarzadeh, S. H. Hashemabadi, M. S. Jamnani, S. M. Hoseini, Improving the cooling performance of automobile radiator with  $\text{Al}_2\text{O}_3$ /water nanofluid, *Applied Thermal Engineering*, Vol. 31, No. 10, pp. 1833-1838, 2011.
- [9] S. M. Peyghambarzadeh, S. H. Hashemabadi, S. M. Hoseini, M. Seifi Jamnani, Experimental study of heat transfer enhancement using water/ethylene glycol based nanofluids as a new coolant for car radiators, *International Communications in Heat and Mass Transfer*, Vol. 38, No. 9, pp. 1283-1290, 2011.
- [10] S. M. Peyghambarzadeh, S. H. Hashemabadi, M. Naraki, Y. Vermahmoudi, Experimental study of overall heat transfer coefficient in the application of dilute nanofluids in the car radiator, *Applied Thermal Engineering*, Vol. 52, No. 1, pp. 8-16, 2013.
- [11] M. Naraki, S. M. Peyghambarzadeh, S. H. Hashemabadi, Y. Vermahmoudi, Parametric study of overall heat transfer coefficient of  $\text{CuO}$ /water nanofluids in a car radiator, *International Journal of Thermal Sciences*, Vol. 66, No. 0, pp. 82-90, 2013.
- [12] S. Karimi, B. Ghasemi, Water-Alumina natural convection heat transfer in an inclined L shape cavity, *Modares Mechanical Engineering*, Vol. 13, No. 2, pp. 133-144, 2012. (In Persian)
- [13] G. A. Sheikhzadeh, H. Ehteram, A. Aghaei, Numerical study of natural convection in a nanofluid filled enclosure with central heat source and presenting correlations for Nusselt number, *Modares Mechanical Engineering*, Vol. 13, No. 10, pp. 62-74, 2014. (In Persian)
- [14] W. Ou, I. Mudawar, Analysis of three-dimensional heat transfer in micro-channel heat sinks, *International Journal of Heat and Mass Transfer*, Vol. 45, No. 19, pp. 3973-3985, 2002.
- [15] H. Mohammed, G. Bhaskaran, N. Shuaib, R. Saidur, Heat transfer and fluid flow characteristics in microchannels heat exchanger using nanofluids: a review, *Renewable and Sustainable Energy Reviews*, Vol. 15, No. 3, pp. 1502-1512, 2011.
- [16] S. V. Garimella, C. B. Sobhan, Transport in microchannels -a critical review, Vol. 13, No. 13, pp. 1-50, 2003.
- [17] P. S. Lee, S. V. Garimella, D. Liu, Investigation of heat transfer in rectangular microchannels, *International Journal of Heat and Mass Transfer*, Vol. 48, No. 9, pp. 1688-1704, 2005.
- [18] S. Lee, S. U. S. Choi, *Application of metallic nanoparticle suspensions in advanced cooling systems*, 1996.
- [19] J. Y. Jung, H. S. Oh, H. Y. Kwak, Forced convective heat transfer of nanofluids in microchannels, *International Journal of Heat and Mass Transfer*, Vol. 52, No. 1, pp. 466-472, 2009.
- [20] K. Anoop, R. Sadr, J. Yu, S. Kang, S. Jeon, D. Banerjee, Experimental study

- [30] R. Hamilton, O. Crosser, Thermal conductivity of heterogeneous two-component systems, *Industrial & Engineering Chemistry Fundamentals*, Vol. 1, No. 3, pp. 187-191, 1962.
- [31] G. Batchelor, The effect of Brownian motion on the bulk stress in a suspension of spherical particles, *Journal of Fluid Mechanics*, Vol. 83, No. 01, pp. 97-117, 1977.
- [32] Y. Xuan, W. Roetzel, Conceptions for heat transfer correlation of nanofluids, *International Journal of Heat and Mass Transfer*, Vol. 43, No. 19, pp. 3701-3707, 2000.
- [33] B. C. Pak, Y. I. Cho, Hydrodynamic and heat transfer study of dispersed fluids with submicron metallic oxide particles, *Experimental Heat Transfer*, Vol. 11, No. 2, pp. 151-170, 1998.
- [34] R. J. Moffat, Describing the uncertainties in experimental results, *Experimental Thermal and Fluid Science*, Vol. 1, No. 1, pp. 3-17, 1988.
- [35] T. H. Hassan, S. Z. Heris, S. Noie, A comparison of experimental heat transfer characteristics for  $\text{Al}_2\text{O}_3$ /water and  $\text{CuO}$ /water nanofluids in square cross-section duct, *International Communications in Heat and Mass Transfer*, Vol. 37, No. 7, pp. 924-928, 2010.
- [36] Y. Xuan, Q. Li, Investigation on convective heat transfer and flow features of nanofluids, *Journal of Heat Transfer*, Vol. 125, pp. 151, 2003.
- [37] R. Chein, J. Chuang, Experimental microchannel heat sink performance studies using nanofluids, *International Journal of Thermal Sciences*, Vol. 46, No. 1, pp. 57-66, 2007.
- [38] E. N. Sieder, G. E. Tate, Heat transfer and pressure drop of liquids in tubes, *Industrial & Engineering Chemistry*, Vol. 28, No. 12, pp. 1429-1435, 1936.
- [39] J. Li, C. Kleinstreuer, Thermal performance of nanofluid flow in microchannels, *International Journal of Heat and Fluid Flow*, Vol. 29, No. 4, pp. 1221-1232, 2008.
- [40] S. E. B. Maiga, S. J. Palm, C. T. Nguyen, G. Roy, N. Galanis, Heat transfer enhancement by using nanofluids in forced convection flows, *International Journal of Heat and Fluid Flow*, Vol. 26, No. 4, pp. 530-546, 2005.
- [41] M. R. Sohel, R. Saidur, M. F. M. Sabri, M. Kamalisarvestani, M. M. Elias, A. Ijam, Investigating the heat transfer performance and thermophysical properties of nanofluids in a circular micro-channel, *International Communications in Heat and Mass Transfer*, Vol. 42, No. 0, pp. 75-81, 2013.
- [42] H. Zhang, S. Shao, H. Xu, C. Tian, Heat transfer and flow features of  $\text{Al}_2\text{O}_3$ -water nanofluids flowing through a circular microchannel – Experimental results and correlations, *Applied Thermal Engineering*, Vol. 61, No. 2, pp. 86-92, 2013.
- [43] S. A. Fazeli, S. M. Hosseini Hashemi, H. Zirakzadeh, M. Ashjaee, Experimental and numerical investigation of heat transfer in a miniature heat sink utilizing silica nanofluid, *Superlattices and Microstructures*, Vol. 51, No. 2, pp. 247-264, 2012.
- [44] M. Kalteh, A. Abbassi, M. Saffar-Aval, A. Frijns, A. Darhuber, J. Harting, Experimental and numerical investigation of nanofluid forced convection inside a wide microchannel heat sink, *Applied Thermal Engineering*, Vol. 36, pp. 260-268, 2012.
- [45] C. J. Ho, L. Wei, Z. Li, An experimental investigation of forced convective cooling performance of a microchannel heat sink with  $\text{Al}_2\text{O}_3$ /water nanofluid, *Applied Thermal Engineering*, Vol. 30, No. 2, pp. 96-103, 2010.
- [46] D. Liu, L. Yu, Single-phase thermal transport of nanofluids in a minichannel, *Journal of Heat Transfer*, Vol. 133, pp. 031009, 2011.
- [47] J. Lee, I. Mudawar, Assessment of the effectiveness of nanofluids for single-phase and two-phase heat transfer in micro-channels, *International Journal of Heat and Mass Transfer*, Vol. 50, No. 3, pp. 452-463, 2007.
- [48] W. Qu, I. Mudawar, Experimental and numerical study of pressure drop and heat transfer in a single-phase micro-channel heat sink, *International Journal of Heat and Mass Transfer*, Vol. 45, No. 12, pp. 2549-2565, 2002.
- [49] S. G. Kandlikar, *Heat Transfer and Fluid Flow in Minichannels and Microchannels*: Elsevier Science & Tech, 2006.